

ผลของสารคัดเมมต่อการลดอุณหภูมิการซินเทอร์ซิลิกอนคราบเป็นแบบไม่ใช้ความดัน

นายกานต์ เสรีวัลย์สอดิษฐ์

ศูนย์วิทยทรัพยากร
อธิบดีกรุงร่องมหาวิทยาลัย
วิทยานิพนธ์นี้เป็นส่วนหนึ่งของการศึกษาตามหลักสูตรปริญญาวิทยาศาสตร์มหาบัณฑิต
สาขาวิชาเทคโนโลยีเคมีภารมิค ภาควิชาวัสดุศาสตร์
คณะวิทยาศาสตร์ จุฬาลงกรณ์มหาวิทยาลัย
ปีการศึกษา 2545
ISBN 974-17-1724-5
ลิขสิทธิ์ของจุฬาลงกรณ์มหาวิทยาลัย

EFFECTS OF ADDITIVES TO REDUCE PRESSURELESS SINTERING TEMPERATURE
OF SILICON CARBIDE

Mr. Karn Serivalsatit

ศูนย์วิทยบริการ
จุฬาลงกรณ์มหาวิทยาลัย

A Thesis Submitted in Partial Fulfillment of the Requirements
for the Degree of Master of Science in Ceramic Technology

Department of Material Science

Faculty of Science

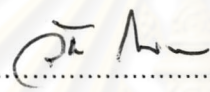
Chulalongkorn University

Academic Year 2002

ISBN 974-17-1724-5

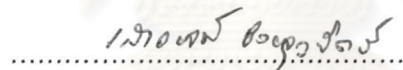
หัวข้อวิทยานิพนธ์	ผลของสารตัวเติมต่อการลดอุณหภูมิการซึ้งเทอร์โมลิกอนคาร์บีบีดแบบไม่ใช้ความดัน
โดย	นายกานต์ เสรีวัลย์สกิตย์
สาขาวิชา	เทคโนโลยีเคมีภัณฑ์
อาจารย์ที่ปรึกษา	อาจารย์ ดร.ศิริชัย เจียมศิริเลิศ
อาจารย์ที่ปรึกษาawan	ดร.ศิริพร ลาภเกียรติถาวร

คณะวิทยาศาสตร์ จุฬาลงกรณ์มหาวิทยาลัย อนุมัติให้นับวิทยานิพนธ์ฉบับนี้เป็นส่วนหนึ่งของการศึกษาตามหลักสูตรปริญญามหาบัณฑิต

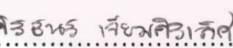


คณบดีคณะวิทยาศาสตร์
(รองศาสตราจารย์ ดร.วนัชัย พิชิตรา)

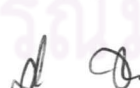
คณะกรรมการสอบวิทยานิพนธ์



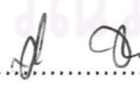
ประธานกรรมการ
(รองศาสตราจารย์ เสาวรุณี ช่วยจุลจิตร์)



อาจารย์ที่ปรึกษา
(อาจารย์ ดร.ศิริชัย เจียมศิริเลิศ)



อาจารย์ที่ปรึกษาawan
(ดร.ศิริพร ลาภเกียรติถาวร)



กรรมการ
(รองศาสตราจารย์ ดร.สุพัฒนา จินวัฒน์)



กรรมการ
(ศาสตราภิชาน ชิงตากะ วาตะ)

งานศึกษาดูหัด : ผลของสารตัวเติมต่อการลดอุณหภูมิการซินเทอร์ซิลิกอนคาร์บิดแบบไม่ใช้ความดัน. (EFFECT OF ADDITIVES TO REDUCE THE PRESSURELESS SINTERING TEMPERATURE OF SILICON CARBIDE) อ.ที่ปรึกษา : ดร.ศรีธนว
เจียมศรีเดช, อ.ที่ปรึกษาร่วม : ดร.ศรีพร ลากเกียรติavar, 67หน้า. ISBN 974-17-1724-
5.

งานวิจัยนี้ได้ศึกษาผลของสารตัวเติมต่อการลดอุณหภูมิการซินเทอร์ซิลิกอนคาร์บิดแบบไม่ใช้ความดัน โดยใช้สารตัวเติม 4 กลุ่ม ได้แก่ อะลูมิเนียม-ไบرون-คาร์บอน แมกนีเซียมออกไซด์ อะลูมินา-อิथเทเรียม และอะลูมินา-อิथเทเรียม-แคลเซียมออกไซด์ จากการทดลองพบว่าซิลิกอนคาร์บิดที่เติมอะลูมินา-อิथเทเรียม และอะลูมินา-อิथเทเรียม-แคลเซียมออกไซด์ สามารถซินเทอร์ได้ชั้นงานซิลิกอนคาร์บิดที่มีความหนาแน่นสัมพัทธ์สูงถึงร้อยละ 97 ของค่าความหนาแน่นเชิงทฤษฎี และบังใช้อุณหภูมิซินเทอร์ต่ำกว่าการใช้สารตัวเติมอะลูมิเนียม-ไบرون-คาร์บอน และแมกนีเซียมออกไซด์ สำหรับซิลิกอนคาร์บิดที่เติมอะลูมินา-อิथเทเรียม และอะลูมินา-อิथเทเรียม-แคลเซียมออกไซด์ การซินเทอร์ในช่วงอุณหภูมิ 1850 ถึง 1900 องศาเซลเซียส จะให้สมบัติเชิงกลที่ดีที่สุด โดยซิลิกอนคาร์บิดที่เติมอะลูมินา-อิथเทเรียม จะมีค่าความเด็นแรงดัด ໄส 395 เมกะปascal ค่าความแข็ง 1988 HV ขณะที่ซิลิกอนคาร์บิดที่เติมอะลูมินา-อิथเทเรียม-แคลเซียมออกไซด์ จะมีค่าความเด็นแรงดัด ໄส 409 เมกะปascal ค่าความแข็ง 1799 HV นอกจากนี้ซิลิกอนคาร์บิดที่เติมสารตัวเติมทั้งสองกลุ่มนี้ มีค่า Fracture Toughness มากกว่า $3 \text{ MPa} \cdot \text{m}^{1/2}$

ศูนย์วิทยทรัพยากร จุฬาลงกรณ์มหาวิทยาลัย

ภาควิชา วัสดุศาสตร์
สาขาวิชา เทคโนโลยีเคมี
ปีการศึกษา 2545

ลายมือชื่อนิสิต..... งานที่ เผรี่งปงกง
ลายมือชื่ออาจารย์ที่ปรึกษา..... ศรีธนว เจริญศรีสุข
ลายมือชื่ออาจารย์ที่ปรึกษาร่วม..... ลภ. พ. ลากเกียรติavar,

4372207923 : MAJOR CERAMIC TECHNOLOGY

KEY WORD: SILICON CARBIDE / SINTER / ADDITIVE / MECHANICAL PROPERTIES

KARN SERIVALSATIT : EFFECTS OF ADDITIVES TO REDUCE PRESSURELESS
SINTERING TEMPERATURE OF SILICON CARBIDE. THESIS ADVISOR :
SIRITHAN JIEMSIRILERS, Ph.D., THESIS COADVISOR : SIRIPORN
LARPKIATTAWORN, Ph.D., 67 pp. ISBN 974-17-1724-5.

The objective of this research is to study the effects of additives on the pressureless sintering temperature of silicon carbide. The additives were aluminium-boron-carbon, magnesium oxide, alumina-yttria and alumina-yttria-calcium oxide. The results showed that sintered silicon carbide with the addition of alumina-yttria-calcium oxide give a high density (97% theoretical) at 1900°C which was higher than that of sintered silicon carbide with the addition of aluminium-boron-carbon or magnesium oxide at the same sintering temperature. Samples of silicon carbide with the addition of alumina-yttria had a bending strength of 395 MPa and a hardness of 1988 HV while those of silicon carbide with the addition of alumina-yttria-calcium oxide were 409 MPa and 1799 HV, respectively, and their values fracture toughness was higher than $3 \text{ MPa} \cdot \text{m}^{1/2}$. Hence good mechanical properties were been found on these samples in the whole sintering range, 1850-1900°C.

ศูนย์วิทยบริการ จุฬาลงกรณ์มหาวิทยาลัย

Department MATERIAL SCIENCE

Field of study CERAMIC TECHNOLOGY

Academic year 2002

Student's.....

Advisor's.....

Co-advisor's.....

กิตติกรรมประกาศ

วิทยานิพนธ์เล่มนี้สำเร็จได้ ด้วยความช่วยเหลืออย่างดีเยี่ยมของ ดร.ศรีรัตน์ เจียมศิริเดช และ ดร.ศรีพร ลากเกียรติถาวร อาจารย์ที่ปรึกษาวิทยานิพนธ์ ซึ่งกรุณายieldคำปรึกษา ให้คำแนะนำและ ข้อคิดเห็นต่างๆในการทำวิจัยดังกล่าว ขอกราบขอบพระคุณคณะกรรมการสอบวิทยานิพนธ์ ทุกท่านที่ให้ข้อเสนอแนะ และตรวจแก้ไขวิทยานิพนธ์ให้สมบูรณ์ยิ่งขึ้น

ขอขอบคุณ ผู้ยังคงในโลหิตสัก สถาบันวิจัยวิทยาศาสตร์และเทคโนโลยีแห่งประเทศไทย ที่ได้ให้การสนับสนุนการทำงานวิจัยในทุกด้าน โดยเฉพาะอย่างยิ่งอำนวยความสะดวกในการใช้ เครื่องคอมพิวเตอร์และอุปกรณ์ทดสอบต่อโครงการ งานวิจัยนี้สามารถสำเร็จลุล่วงด้วยดี ขอขอบคุณ คุณชุมพล บุญบก คุณสมศรี ทวีกุล คุณชนินทร์ สุวรรณยานนก คุณนิตยา แก้วแพร ก ที่ให้ การช่วยเหลือในการเตรียมและทดสอบชิ้นงาน

ขอขอบคุณ เพื่อนๆ พี่ๆ และ น้องๆ ปริญญาโทที่เคยให้ความช่วยเหลือ และแลกเปลี่ยน ความคิดเห็นกันด้วยดีตลอด

ท้ายนี้ ผู้วิจัยขอกราบขอบพระคุณ บิดา มารดา ที่ให้การสนับสนุน และเป็นกำลังใจในการศึกษามาโดยตลอด

**ศูนย์วิทยาทรัพยากร
อุปสงค์แม่มหาวิทยาลัย**

สารบัญ

	หน้า
บทคัดย่อภาษาไทย.....	๑
บทคัดย่อภาษาอังกฤษ.....	๑
กิตติกรรมประกาศ.....	๗
สารบัญ.....	๙
สารบัญตาราง.....	๖
สารบัญภาพ.....	๗
บทที่	
1 บทนำ.....	1
1.1 ความสำคัญของงานวิจัย.....	1
1.2 วัตถุประสงค์ของงานวิจัย.....	1
1.3 ขอบเขตของงานวิจัย.....	2
2 ทฤษฎีและงานวิจัยที่เกี่ยวข้อง.....	3
2.1 โครงสร้างผลึกของซิลิกอนคาร์ไบด์.....	3
2.2 กระบวนการผลิตซิลิกอนคาร์ไบด์.....	5
2.2.1 Carbothermic Reaction.....	6
2.2.2 Polymer Conversion.....	8
2.2.3 Gas Phase Synthesis.....	8
2.3 การซินเทอร์ซิลิกอนคาร์ไบด์.....	9
2.3.1 การซินเทอร์แบบใช้ความดัน.....	9
2.3.2 การซินเทอร์แบบไม่ใช้ความดัน.....	10
2.3.2.1 Solid State Sintered Silicon Carbide.....	10
2.3.2.2 Liquid Phase Sintered Silicon Carbide.....	14
2.4 ผลของสารตัวเติมต่อสมบัติเชิงกลของซิลิกอนคาร์ไบด์.....	17
3 วิธีดำเนินงานวิจัย.....	18
3.1 การศึกษาลักษณะทางกายภาพและเคมีของวัตถุดิบ.....	18
3.1.1 การศึกษาการกระจายตัวของอนุภาค.....	19

หน้า

3.1.2 การศึกษาลักษณะอนุภาค.....	19
3.1.3 การศึกษาลักษณะโครงสร้างผลึก.....	19
3.2 การเตรียมตัวนพสมชลิกอนการรีบบีด.....	19
3.3 การขึ้นรูปชิ้นงาน.....	20
3.4 การซินเทอร์.....	20
3.5 การวิเคราะห์และทดสอบสมบัติชิ้นงานที่เตรียมได้.....	21
3.5.1 ร้อยละของน้ำหนักที่หายไป.....	21
3.5.2 ร้อยละของการหดตัว.....	22
3.5.3 ความหนาแน่น.....	22
3.5.3.1 ความหนาแน่นของชิ้นงาน.....	22
3.5.3.2 ความหนาแน่นเชิงทฤษฎี (Theoretical Density).....	23
3.5.3.3 ความหนาแน่นเชิงสัมพัทธ์ (Relative Density).....	24
3.5.4 ความทนแรงดัดໄอิ่ง (Bending Strength).....	24
3.5.5 ความแข็ง (Hardness).....	26
3.5.6 Fracture Toughness.....	27
3.5.6.1 การหาอัตราส่วนของค่าบังส์มอคูลัสกับความแข็ง.....	27
3.5.7 การวิเคราะห์องค์ประกอบทางเคมี.....	28
 4 ผลการทดลอง.....	29
4.1 ผลการศึกษาลักษณะทางกายภาพและเคมีของวัตถุคิบ.....	29
4.1.1 การกระจายขนาดของอนุภาค.....	29
4.1.2 ลักษณะอนุภาคของวัตถุคิบ.....	37
4.1.3 ลักษณะโครงสร้างผลึกของวัตถุคิบ.....	37
4.2 การวิเคราะห์และทดสอบสมบัติของชิ้นงานที่เตรียมได้.....	40
4.2.1 การศึกษานิคของสารตัวเติม.....	40
4.2.2 การศึกษาอุณหภูมิการซินเทอร์.....	42
4.2.2.1 ร้อยละของน้ำหนักที่หายไป.....	42
4.2.2.2 ร้อยละของการหดตัว.....	44

4.2.2.3 ความหนาแน่น.....	45
4.2.2.4 ลักษณะโครงสร้างและองค์ประกอบทางเคมี.....	46
4.2.2.4.1 ลักษณะโครงสร้างจุลภาค.....	46
4.2.2.4.2 การวิเคราะห์เฟสด้วยเครื่อง X-ray Diffractometer.....	48
4.2.2.4.3 การวิเคราะห์องค์ประกอบทางเคมีด้วยเครื่อง Energy Dispersive Spectroscopy (EDS).....	49
4.2.2.5 ความทนแรงดัดโค้ง (Bending Strength).....	51
4.2.2.6 ความแข็ง (Vicker Hardness).....	52
4.2.2.7 Fracture Toughness.....	53
4.3 การวิเคราะห์สมบัติของชิ้นงานจากท้องตลาด.....	54
5 สรุปผลการทดลอง.....	58
รายการอ้างอิง.....	61
ภาคผนวก.....	64
ประวัติผู้เขียนวิทยานิพนธ์.....	67

ศูนย์วิทยทรัพยากร จุฬาลงกรณ์มหาวิทยาลัย

สารบัญตาราง

ตาราง	หน้า
ตารางที่ 3.1 รายละเอียดของผงซิลิกอนคาร์บไบด์ Sika Tech #8000.....	18
ตารางที่ 3.2 รายละเอียดของสารตัวเติม.....	18
ตารางที่ 3.3 ส่วนผสมของซิลิกอนคาร์บไบด์สูตรต่างๆ.....	20
ตารางที่ 4.1 การกระจายขนาดอนุภาคของซิลิกอนคาร์บไบด์ Sika Tech #8000.....	29
ตารางที่ 4.2 การกระจายขนาดอนุภาคของอะลูминินา.....	31
ตารางที่ 4.3 การกระจายขนาดอนุภาคของอิथเทรีย.....	33
ตารางที่ 4.4 การกระจายขนาดอนุภาคของแคลเซียมคาร์บอนেต.....	35
ตารางที่ 4.5 ความหนาแน่นของชิ้นงานซิลิกอนคาร์บไบด์ที่สารเติมตัวเติมชนิดต่างๆ.....	41
ตารางที่ 4.6 สมบัติของซิลิกอนคาร์บไบด์ที่เติม อะลูминินา-อิथเทรีย และ อะลูминินา-อิथเทรีย-แคลเซียม ออกไซด์ หลังขึ้นเทอร์ที่อุณหภูมิต่างๆ.....	42
ตารางที่ 4.7 องค์ประกอบทางเคมีของ ชิ้นงานซิลิกอนคาร์บไบด์ที่เติม อะลูминินา-อิथเทรีย.....	50
ตารางที่ 4.8 องค์ประกอบทางเคมีของชิ้นงานซิลิกอนคาร์บไบด์ที่เติม อะลูминินา-อิथเทรีย แคลเซียมออกไซด์.....	50
ตารางที่ 4.9 ความหนาแน่น ความแข็ง และ Fracture Toughness ของชิ้นงานจาก ท้องตลาด.....	54

ศูนย์วิทยทรัพยากร
จุฬาลงกรณ์มหาวิทยาลัย

สารบัญภาพ

ภาพประกอบ

หน้า

รูปที่ 2.1 โครงสร้างผลึกของซิลิกอนคาร์ไบด์	4
รูปที่ 2.2 การจัดเรียงอะตอมของซิลิกอนคาร์ไบด์ในรูปแบบต่างๆ.....	5
รูปที่ 2.3 โครงสร้างของเตา Acheson.....	6
รูปที่ 2.4 การเกิดปฏิกิริยาระหว่างซิลิกาและคาร์บอน.....	7
รูปที่ 2.5 ความสัมพันธ์ระหว่าง a. ปริมาณการบอนกับความหนาแน่น b. ปริมาณไบรอนกับความหนาแน่น.....	10
รูปที่ 2.6 เฟสของซิลิกอนคาร์ไบด์ที่เปลี่ยนไปเมื่ออุณหภูมิต่างๆเมื่อเติมไบรอน A. อัลฟ่าซิลิกอน คาร์ไบด์ B. เมتاซิลิกอนคาร์ไบด์.....	11
รูปที่ 2.7 โครงสร้างจุลภาคของแอลฟ่าซิลิกอนคาร์ไบด์ที่ชินเทอร์ที่ 2090 องศาเซลเซียส.....	12
รูปที่ 2.8 ปริมาณเฟสที่ต่างกันเมื่อเติมไบรอนและอุลูมิเนียม.....	13
รูปที่ 2.9 เฟสของเบต้าซิลิกอนคาร์ไบด์ที่เปลี่ยนไปที่อุณหภูมิต่างๆ เมื่อเติมอุลูมิเนียม.....	13
รูปที่ 2.10 แผนภาพเฟสของอะลูมินาและอิทเทเรียม.....	15
รูปที่ 2.11 แผนภาพเฟสของอิทเทเรียม อะลูมินา และซิลิกา.....	16
รูปที่ 3.1 เครื่อง Hot press รุ่น High-Multi 500FV PHP-R-5 FRET-25.....	21
รูปที่ 3.2 กราฟแสดงอุณหภูมิและเวลาที่ใช้ในการชินเทอร์.....	21
รูปที่ 3.3 ลักษณะ 4 – point bending.....	25
รูปที่ 3.4 รอยกดของหัวกดวิคเกอร์ส.....	26
รูปที่ 3.5 รอยกดของหัวกดนูป.....	28
รูปที่ 4.1 การกระจายขนาดอนุภาคแบบสะสมของซิลิกอนคาร์ไบด์ Sika Tech #8000.....	30
รูปที่ 4.2 การกระจายขนาดอนุภาคของซิลิกอนคาร์ไบด์ Sika Tech #8000.....	30
รูปที่ 4.3 การกระจายขนาดอนุภาคแบบสะสมของอะลูมินา.....	32
รูปที่ 4.4 การกระจายขนาดอนุภาคของอะลูมินา.....	32
รูปที่ 4.5 การกระจายขนาดอนุภาคแบบสะสมของอิทเทเรียม.....	34
รูปที่ 4.6 การกระจายขนาดอนุภาคของอิทเทเรียม.....	34
รูปที่ 4.7 การกระจายขนาดอนุภาคแบบสะสมของแคลเซียมคาร์บอนেต.....	36
รูปที่ 4.8 การกระจายขนาดอนุภาคของแคลเซียมคาร์บอนেต.....	36
รูปที่ 4.9 ลักษณะของผงซิลิกอนคาร์ไบด์ Sika Tech #8000 กำลังขยาย 10000 เท่า.....	37

หน้า

รูปที่ 4.10 ผลวิเคราะห์ XRD ของผงซิลิกอนคาร์ไบด์ Sika Tech #8000.....	38
รูปที่ 4.11 ผลวิเคราะห์ XRD ของผงอะลูมินา.....	38
รูปที่ 4.12 ผลวิเคราะห์ XRD ของผงอิथเทเรียม.....	39
รูปที่ 4.13 ผลวิเคราะห์ XRD ของผงแคลเซียมคาร์บอนেต.....	40
รูปที่ 4.14 ความหนาแน่นเชิงเบรียบเทียบของชิ้นงานซิลิกอนคาร์ไบด์ที่เติมสารตัวเติมชนิดต่างๆ.....	41
รูปที่ 4.15 ความสัมพันธ์ระหว่างร้อยละของน้ำหนักที่หายไปกับอุณหภูมิชินເກອຣ.....	43
รูปที่ 4.16 ความสัมพันธ์ระหว่างร้อยละของการหดตัวกับอุณหภูมิชินເກອຣ.....	44
รูปที่ 4.17 ความสัมพันธ์ระหว่างความหนาแน่นเชิงสัมพัทธ์กับอุณหภูมิชินເກອຣ.....	45
รูปที่ 4.18 รอยแตกชิ้นงานที่เติม อะลูมินา-อิथเทเรียม ชินເກອຣที่อุณหภูมิ 1850 องศาเซลเซียส กำลังขยาย 5000 เท่า.....	46
รูปที่ 4.19 รอยแตกของชิ้นงานที่เติม อะลูมินา-อิथเทเรียม ชินເກອຣที่อุณหภูมิ 1950 องศาเซลเซียส กำลังขยาย 5000 เท่า.....	46
รูปที่ 4.20 รอยแตกของชิ้นงานที่เติม อะลูมินา-อิथเทเรียม-แคลเซียมออกไซด์ ชินເກອຣที่อุณหภูมิ 1850 องศาเซลเซียส กำลังขยาย 5000 เท่า.....	47
รูปที่ 4.21 รอยแตกของชิ้นงานที่เติม อะลูมินา-อิथเทเรียม-แคลเซียมออกไซด์ ชินເກອຣที่อุณหภูมิ 1950 องศาเซลเซียส กำลังขยาย 5000 เท่า.....	47
รูปที่ 4.22 ผลวิเคราะห์ XRD ของชิ้นงานซิลิกอนคาร์ไบด์ที่เติม อะลูมินา-อิथเทเรียม ชินເກອຣที่อุณหภูมิ 1750 1850 และ 1950 องศาเซลเซียส.....	48
รูปที่ 4.23 ผลวิเคราะห์ XRD ของชิ้นงานซิลิกอนคาร์ไบด์ที่เติม อะลูมินา-อิथเทเรียม-แคลเซียม ออกไซด์ ชินເກອຣที่อุณหภูมิ 1750 1850 และ 1950 องศาเซลเซียส.....	49
รูปที่ 4.24 ความสัมพันธ์ระหว่างความหนาแน่นแรงดัน โล้กับอุณหภูมิชินເກອຣ.....	51
รูปที่ 4.25 ความสัมพันธ์ระหว่างความแข็งกับอุณหภูมิชินເກອຣ.....	52
รูปที่ 4.26 ความสัมพันธ์ระหว่าง Fracture Toughness กับอุณหภูมิชินເກອຣ.....	53
รูปที่ 4.27 รอยแตกของชิ้นงานซิลิกอนคาร์ไบด์จากห้องทดลอง Grade A กำลังขยาย 5000 เท่า	55
รูปที่ 4.28 รอยแตกจากหัวกดวิคเกอร์สบนชิ้นงานซิลิกอนคาร์ไบด์จากห้องทดลอง Grade A กำลังขยาย 200 เท่า.....	55
รูปที่ 4.29 รอยแตกที่เกิดจากหัวกดวิคเกอร์สบนชิ้นงานซิลิกอนคาร์ไบด์จากห้องทดลอง Grade A กำลังขยาย 1000 เท่า.....	56

หน้า

รูปที่ 4.30 รอยกดจากหัวกดวิคเกอร์สบันชิ้นงานซิลิกอนคาร์ไบด์ที่เติม อะกูมินา-อิทเทรีย ชิ้นเทอร์ที่อุณหภูมิ 1850 องศาเซลเซียส กำลังขยาย 200 เท่า.....	56
รูปที่ 4.31 รอยแตกที่เกิดจากหัวกดวิคเกอร์สบันชิ้นงานซิลิกอนคาร์ไบด์ที่เติม อะกูมินา- อิทเทรีย ชิ้นเทอร์ที่อุณหภูมิ 1850 องศาเซลเซียส กำลังขยาย 1000 เท่า.....	57



ศูนย์วิทยทรัพยากร จุฬาลงกรณ์มหาวิทยาลัย